

УДК 532-546

ЭФФЕКТ САМОКОНСЕРВАЦИИ ГАЗОГИДРАТОВ

© 2003 г. Ю. Ф. Макогон

Представлено академиком Ф.А. Кузнецовым 09.08.2002 г.

Поступило 15.10.2002 г.

Газогидраты – метастабильный минерал, образующийся соединением молекул воды и газа при определенных давлениях и температурах. Газогидраты часто образуются в технологических системах добычи, транспорта и переработки газов, значительно осложняя их работу. На предупреждение образования гидратов нефтегазовая промышленность затрачивает более двух миллионов долларов ежедневно. Природные газогидраты широко распространены как на Земле, так и на других планетах. Несмотря на то что природные газогидраты широко распространены и содержат огромные ресурсы минеральной энергии, их существование было доказано лишь в середине 60-х годов прошлого столетия [4, 5]. К настоящему времени в мире выявлено более 120 газогидратных залежей с запасами более $500 \cdot 10^{12} \text{ м}^3$ газа. Накоплен первый опыт разработки газогидратной залежи – Мессояхской, в районе Заполярья Западной Сибири. Опыт освоения Мессояхи послужил катализатором коммерческого освоения газогидратных залежей в мире. Несмотря на большой объем работ, выполненных в многочисленных лабораториях мира, остаются неизвестными многие базовые проблемы природных газогидратов. В данной работе рассматриваются некоторые особенности формирования, стабильного существования и разложения газогидратов в пористых средах. В результате прецизионных экспериментальных исследований фазовых переходов систем газ–вода в пористой среде в условиях гидратообразования нами выявлен эффект самоконсервации газогидратов. Эффект самоконсервации газогидратов имеет не только теоретическое, но и важное практическое значение. Данный эффект в значительной мере будет определять технологии разработки газогидратных залежей.

Впервые эффект самоконсервации газогидрата отмечен нами при исследованиях разложения гидрата в области отрицательных температур. Однако консервация была результатом формирования ячеистого льда из воды, образующейся в

результате разложения гидрата при понижении давления ниже равновесного [1]. Природные газогидраты играли важную роль в формировании Земли, ее гидро- и атмосферы и оказывают серьезное влияние на современную геотектонику [6]. В гидратном состоянии в недрах Земли сосредоточены запасы природного газа порядка $1.5 \cdot 10^{16} \text{ м}^3$ [7, 8].

На рис. 1 приведена диаграмма распределения минеральных ресурсов Земли. При современном уровне потребления при использовании только 15% потенциальных ресурсов газа, сосредоточенного в недрах Земли в гидратном состоянии, мир будет обеспечен энергией в течение минимум двух столетий. Природные газогидраты значительно влияют на стабильность придонных осадков Мирового океана, на динамику и состав пластовых вод, на газовый баланс гидро- и атмосферы, на климат Земли.

В газогидратной лаборатории Техасского А-М Университета ведутся интенсивные исследования кинетики образования и разложения гидратов как в трубопроводах, так и в пористых средах,



Рис. 1. Извлекаемые запасы минеральной энергии $\times 10^9$ тонн нефтяного эквивалента.

включая реальные керны, отобранные из скважин. Следует подчеркнуть, что пористая среда кардинально меняет условия образования гидратов и условия накопления газогидратных залежей. Особенностью освоения ресурсов газа, со средоточенного в недрах Земли в твердом гидратном состоянии, является необходимость фазового перевода газа непосредственно в пласте из твердого гидратного состояния в свободное с последующим отбором газа и его транспорта традиционными средствами.

ТЕХНИКА И ТЕХНОЛОГИЯ ЭКСПЕРИМЕНТАЛЬНЫХ ИССЛЕДОВАНИЙ

Исследования фазовых переходов системы газ–вода в пористой среде в условиях гидратообразования впервые были выполнены в Московском институте нефти и газа им. И.М. Губкина [5]. Полученные результаты явились обоснованием научного открытия, зарегистрированного в Гос. реестре СССР под № 75 [9]. В настоящее время нами выполнен комплекс исследований фазовых переходов систем газ–вода в пористой среде в условиях гидратообразования с использованием современных методов контроля. Исследования проводились на разработанной нами установке с переменным рабочим объемом реактора от 320–до 1200 см³, давление – до 350 кг/см². Контроль фазовых переходов осуществлялся визуально с использованием микроскопа NIKON дигитал высокого разрешения при одновременном измерении давления и температуры. Давление контролировалось трансдьюсерами системы Омега с точностью до 0.05 атм; температура контролировалась в пяти фиксированных точках объема термисторами системы Омега с точностью 0.05°C. Давление в реакторе задавалось прессом системы Раска. Заданная температура обеспечивалась двойной системой внутреннего и внешнего терmostатирования с точностью 0.1°C. В качестве пористой среды использовали фракционированный кварцевый песок размером от 40 до 120 меш и реальные керны при заданном водонасыщении от 20 до 75%. В качестве флюида использовали метан высокой частоты – 99.99; и природный газ (типовой состав, мол. %: CH₄ 87.2, C₂H₆ 7.6, C₃H₈ 3.1, i-C₄ 0.5, n-C₄ 0.8, N₂ 0.4, CO₂ 0.1, C₅H₁₂ 0.3); свежеконденсированная и морская вода (состав морской воды, стандарт США (41.95 г/л), мас. %: NaCl 58.49, MgCl · 6H₂O 24.46, Na₂SO₄ 9.75, CaCl₂ 2.765, KCl 1.645, NaHCO₃ 0.477, KBr 0.238, H₃BO₃ 0.071, SrCl₂ · 6H₂O 0.095, NaF 0.007). Плотность морской воды 1.025 г/см³ при t = 15°C, pH 8.2.

Все контролируемые параметры фиксировались и обрабатывались компьютером с интервалом от 20 до 60 с.

Одновременно с контролем давления и температуры фиксировались параметры изменения электросопротивления пористой среды, что позволяло определять не только наличие фазовых переходов, но и динамику гидратонасыщенности в любой точке в заданный момент. Для измерения электросопротивления использовались 10 фиксированных электродов в реакторе.

На рис. 2 приведена принципиальная схема установки для определения условий образования и разложения гидрата в пористой среде. Корпус реактора и все рабочие детали изготовлены из высоколегированной стали. Как показывает опыт, наиболее важным при проведении исследований фазовых переходов в области образования и разложения гидратов в пористой среде является обеспечение изотропного водонасыщения порового пространства. Для этого была разработана специальная методика.

РЕЗУЛЬТАТЫ

В работе приведены некоторые результаты определения условий образования и разложения гидрата метана в пористой среде, насыщенной пресной водой. На рис. 3 показана характерная зависимость давления (ABCDEF) при изменении температуры (abcdefg) во времени. На кривой изменения температуры отмечено два скачка (bc) и (de). Первый скачок отражает теплоту образования гидрата на разветвленной поверхности контакта газ–вода в порах керна. Второй скачок соответствует активной сорбции (капиллярной конденсации) паровой воды поверхностью образовавшегося гидрата, после полного перекрытия свободной поверхности контакта газ–вода. При этом уменьшается размер и изменяется структура пор, и, как следствие, резко изменяется капиллярное давление.

В реальных условиях пористой среды капиллярное давление зависит от размера и формы пор, от состава флюида, от величины поверхностного натяжения на границе газ–вода, давления и температуры. Наличие гидрофильтной среды сдвигает процесс начала образования гидрата вправо, понижает степень переохлаждения, повышает температуру начала образования гидрата.

Величина капиллярного давления, развивающегося в пористой среде, определяется формулой Жюренса

$$-\Delta P = \frac{2\sigma \cos \theta}{r}, \quad (1)$$

где σ – величина поверхностного натяжения на границе газ–вода; θ – краевой угол смачивания в поровом пространстве; r – радиус капилляра. Величина поверхностного натяжения системы газ–вода

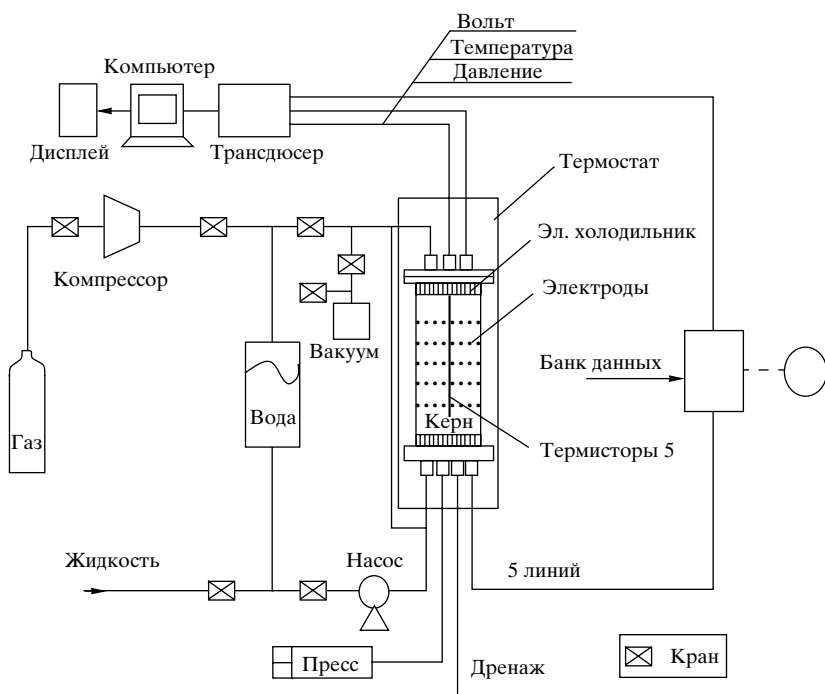


Рис. 2. Схема установки для исследования фазовых переходов в пористой среде.

зависит от давления и температуры (для системы метан–вода – см. [10]).

Наличие капиллярного давления в гидрофильтрном поровом пространстве понижает поверхностное натяжение на границе газ–вода и способствует развитию процесса образования гидрата. В общем виде смещение давления начала процесса образования гидрата ΔP_s имеет вид [11]

$$\Delta P_s = \frac{dP_s}{dP_k} P_k. \quad (2)$$

Смещение ΔP_s равно произведению производной dP_s/dP_k на величину капиллярного давления (P_k).

В момент начала процесса образования гидрата в пористой среде упругость пара над поровой водой соответствует условиям их насыщения с учетом капиллярного давления и величины поверхностного натяжения. После полного перекрытия свободного контакта газ–вода образующейся гидратной пленкой давление паров воды значительно понижается. Равновесное давление паров воды над гидратом может быть определено как

$$\rho_r = \rho_w \exp \frac{2V\sigma}{rRT}, \quad (3)$$

где ρ_w – упругость насыщенного пара воды в данной пористой среде при условиях начала процесса образования гидрата; V – молярный объем образующегося гидрата (M/δ); σ – поверхностная энергия на границе раздела гидрат–газ; r – радиус

микрокристаллов образующегося гидрата; R – газовая постоянная; T – температура процесса.

Величину поверхностной энергии на границе раздела гидрат–газ, насыщенный парами воды, можно определить как

$$\sigma_s = \int_0^i RT \ln \left(\frac{\rho c}{\rho w} \right) di. \quad (4)$$

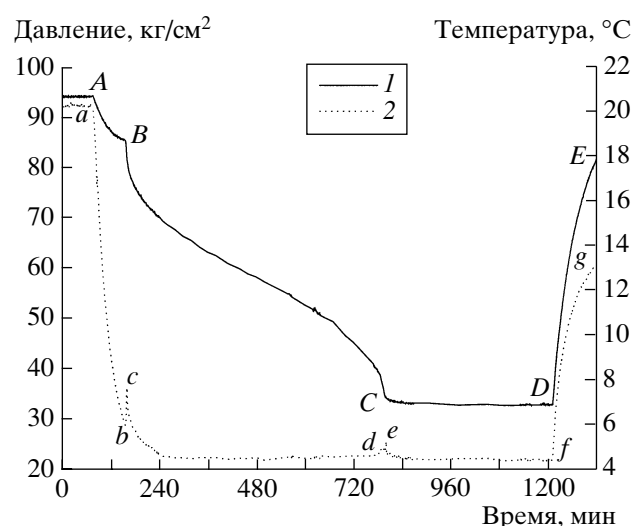


Рис. 3. Условия образования–разложения газо-гидрата в керне во времени. 1 – давление, 2 – температура.

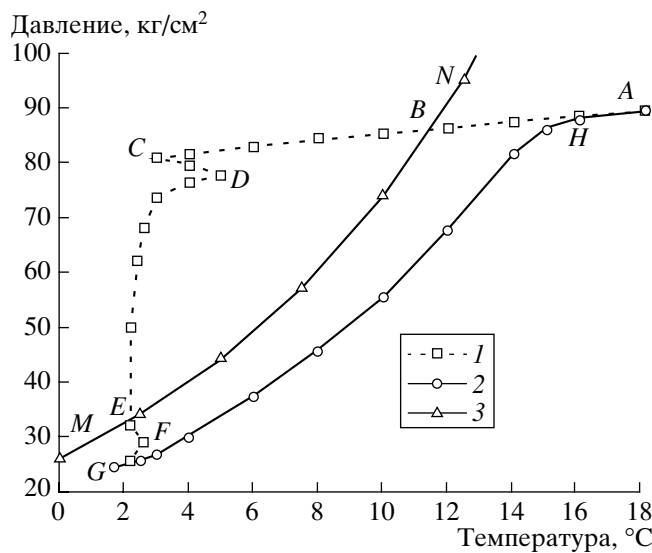


Рис. 4. Условия образования и разложения гидрата метана в пористой среде. 1 – охлаждение; 2 – эффект консервации; 3 – стандартное равновесие.

Накопление гидрата в поровом пространстве изменяет структуру и размер пор. При этом величина капиллярного давления возрастает. При полном исчезновении поверхности свободного контакта газ–вода развиваются процессы капиллярной конденсации образовавшимся гидратом с поглощением паров воды и значительным понижением упругости пара. В пористой среде резко проявляется эффект самоконсервации гидрата. Для разложения гидрата требуются более высокие температуры и более низкие давления.

Для достижения равновесных условий разложения гидрата в пористой среде, когда соблюдаются условия равенства химических потенциалов молекул воды в решетке гидрата и в паровой фазе, требуется значительное повышение температуры или понижение давления. Для пресной воды и метана экспериментально получены величины повышения температуры разложения на 2.5–3.6°C. Для разложения гидрата снижением давления требуется дополнительное понижение ниже равновесного для свободного контакта газ–вода на 12–27 атм.

На рис. 4 приведена характерная фазовая диаграмма образования и разложения гидрата в пористой среде в координатах давление–температура. Кривая MN соответствует равновесным условиям существования гидрата метана в свободном объеме. Кривая ABC отражает изохору при понижении температуры без фазовых переходов. Точка C соответствует давлению и температуре начала образования гидрата в данной пористой среде, при заданном водонасыщении. Степень переохлаждения системы, необходимая для начала образования гидрата (кривая BC), определяется рядом

факторов, основными из которых являются структурное состояние воды, геометрия пористой среды, состав газа и воды, величина капиллярного давления в пористой среде и др. Огромная разветвленная свободная поверхность контакта газ–вода в пористой среде способствует активному развитию процесса образования гидрата в объеме пор с активным выделением тепла (CD). Зная теплоту образования гидрата и теплоемкость вмещающей среды, легко определить массу образующегося гидрата по величине термоскачка. Определив массу образовавшегося гидрата, зная суммарную поверхность пористой среды, легко определить осредненную толщину образовавшейся гидратной пленки и изменение геометрии порового пространства. На участках CDE идет обычный процесс диффузионно-латерального накопления гидрата в объеме пор с полным перекрытием свободного контакта газ–вода. После полного перекрытия поверхности свободного контакта газ–вода продолжается активное сорбционное поглощение паров воды разветвленной поверхностью гидрата. Происходит капиллярная конденсация паров воды поровым пространством самого гидрата с выделением теплоты конденсации (кривая EF).

По величине вторичного термоскачка можно определить массу сорбированной воды (не перешедшей в гидрат) и конечную величину упругости паров воды над гидратом. По величине упругости паров воды над гидратом легко определить равновесные давление и температуру разложения гидрата для заданных условий.

ЗАКЛЮЧЕНИЕ

Условия образования и накопления гидрата в пористой среде значительно отличаются от образования и разложения гидрата в свободном объеме. Структура порового пространства, начальное содержание и состав флюида определяют величину начального капиллярного давления и соответствующий сдвиг температуры начала процесса образования гидрата. С накоплением гидрата изменяется структура порового пространства, возрастает капиллярное давление, изменяются условия накопления и разложения гидрата. Кривая разложения гидрата сдвигается вправо (HI). Величина сдвига равновесной кривой вправо (эффект самоконсервации гидрата) определяется конечной величиной пор, наличием капиллярной конденсации паров воды образующимся гидратом и величиной капиллярного давления.

При проведении данной серии исследований за счет самоконсервации гидрата сдвиг по температуре составлял от 2.5 до 3.6°C и по давлению от 12 до 27 атм. В конкретных геологических условиях эффект самоконсервации может значительно отличаться от приведенных величин. Эффект само-

консервации гидрата способствует стабильности газогидратных залежей и увеличивает энергозатраты на их разработку.

При высокой степени гидратонасыщения гидрат часто является цементирующим веществом вмещающих пород. Разложение гидрата сопровождается разрушением монолита пород и активным выносом песка из призабойной зоны скважин даже при низких рабочих депрессиях. Эффект самоконсервации требует повышения температур и рабочих депрессий для разложения гидрата в пласте. В то же время повышение рабочих депрессий сопровождается разрушением вмещающих пород в призабойной зоне скважин. Ограничение рабочих депрессий приводит к снижению дебита скважин и к увеличению количества скважин, обеспечивающих заданные отборы из месторождения.

СПИСОК ЛИТЕРАТУРЫ

1. *Макогон Ю.Ф.* // Газ. дело. 1961. № 12. С. 11–14.
2. *Stern L.A., Circone S., Kirbi S.H., Durham W.B.* Neutron Diffraction Data of Hydrates. Intern. Conf. of Ice. 2001. P. 175–184.
3. *Yakushev V.S., Istomin V.A.* Gas-Hydrates Self-Preservation Effect. Physics and Chemistry of Ice. Supporo: Hokkaido Univ. Press, 1992. P. 112–118.
4. *Макогон Ю.Ф.* // Газ. пром-сть. 1965. № 5. С. 14–15.
5. *Макогон Ю.Ф.* Особенности эксплуатации месторождений природных газов в зоне вечной мерзлоты. М.: ЦНТИ Мингазпром, 1966. 17 с.
6. *Макогон Ю.Ф.* Газовые гидраты, предупреждение их образования и использование. М.: Недра, 1985. 232 с.
7. *Макогон Ю.Ф.* // Газ. пром-сть. 1984. № 8. С. 46–47.
8. *Kvenvolden K.A.* // Chem. Geol. 1988. V. 71. P. 73–79.
9. *Васильев В.Г., Макогон Ю.Ф., Требин Ф.А. и др.* // Открытия и изобретения. 1970. № 10. С. 57–59.
10. *Makogon Y.F.* Hydrates of Hydrocarbons. PennWell, 1977. 512 p.
11. *Намиот А.Ю.* Фазовые равновесия в добывче нефти. М.: Недра, 1976. 184 с.